

ゾル-ゲル法によるジルコニア含有ガラス

愛知工業大学 應用化学科 野 上 正 行

1. はじめに

ジルコニアは酸化物の中でも、特に、融点が高く耐熱性である。酸やアルカリにも優れた耐久性を示す。 Y_2O_3 や CaO などで部分安定化した正方晶結晶を含むセラミックスは高強度・高韌性である。など特徴ある性質を有しており、新しいセラミックスとして幅広い分野で用いられている。一方、ガラスにおいても、結晶化ガラスや耐アルカリ性ガラス繊維など、いくつかのガラスの製造にジルコニアが使われている。結晶化ガラスの製造において、核形成剤として数%程度の ZrO_2 が用いられている。また、ガラス繊維には 20 wt % 程度の ZrO_2 が含有されている。ガラスの耐アルカリ性は ZrO_2 量に比例して向上していくので、より多くの ZrO_2 をガラスに導入すれば、耐アルカリ性に優れたものになるはずである。

しかし、 ZrO_2 はガラスの溶融温度を著しく上げるために、多量の ZrO_2 を含有したガラスの製造は容易ではない。実際的には 20 % 程度が限界のようである。そして、この程度の量では、始めに述べたような ZrO_2 の優れた性質を充分に引き出すのは無理である。

ガラスの作製法の新しい方法として提案されたゾル・ゲル法は、まず原料を室温に近い温度で反応させた後、加水分解反応でゲルにする。その後、融点よりかなり低い温度で加熱するだけでガラスが得られるというもので、今までの溶融法では出来なかったガラスを作り出すことが可能である。

本稿では、金属アルコキシドのゾル-ゲル法によって、新しいガラスが作られるという例として、多量の ZrO_2 を含有した $\text{ZrO}_2\text{-SiO}_2$ 系ガラスを取り上げ、その作製方法と得られたガラスの性質について述べる。

2. ガラス生成過程

ゾル-ゲル法によるガラス生成過程の研究の多くは、 $\text{Si}(\text{OCH}_3)_4$ や $\text{Si}(\text{OC}_2\text{H}_5)_4$ などのシリコンアルコキシドからの SiO_2 ガラスについてのもので、その生成過程がほぼ明らかにされており、今では性能や形態の制御がかなり良くできるようになっている。一方、多成分系ガラスの生成については、研究例も未だそれほど多くはなく、統一的な手法が開発されている訳ではない。それは原料である金属アルコキシドの加水分解反応速度が大きく異なることにも原因している。加水分解速度の異なる金属アルコキシドを用いる場合には、加水分解速度の遅いものをあらかじめ加水分解した後、順次、速度の早いものを反応させて複合金属アルコキシドを合成するという方法が採られている。筆者は、 $\text{Si}(\text{OC}_2\text{H}_5)_4$ を塩酸触媒にして少量の $\text{H}_2\text{O}(\text{H}_2\text{O}/\text{Si}(\text{OC}_2\text{H}_5)_4=1$ モル程度) で加水分解し、それに $\text{Zr}(\text{OC}_2\text{H}_5)_4$ を反応させている。得られた透明金属アルコキシド溶液を容器に移し、室内に放置しておくと、数日でゲル化する。その後更に 2-10 日間程度乾燥した後、飽和水蒸気に曝し、加水分解を終了させる。

ゲルを加熱した時の形状、比表面積および重量の変化曲線を図 1 に示す。これらの変化は、シリカゲルの加熱にともなう変化と本質的に同じである。

乾燥しただけのゲルは、多量の水を含んだ多孔体である。100°C 付近からゲルの細孔に含まれている吸着水が離脱する。温度の上昇にともない、細孔表面に化学的に吸着している水の揮発と、それにもともなう縮合反応や、ゲル分子内の脱水縮合反応も起こるようになる。反応の進展に応じて細孔が閉じ、ゲルは少しづつ収縮していく。このよ

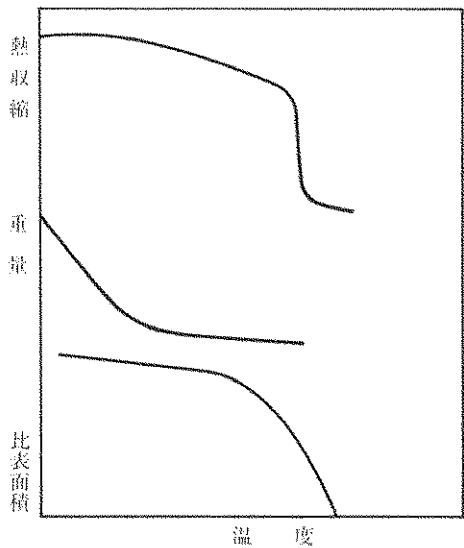


図1 ゲルの加熱にともなう特性変化

うな脱水縮合反応とともに、骨格構造も次第に強固なものになっていくが、多孔質としての形状に大きな変化がみられない。このような温度域で得られる多孔体を材料として利用することも可能である。

さらに温度を上げると、狭い温度範囲内でゲルは急激に収縮し、無孔化する。無孔化したものは通常の溶融法で作られるガラスとほとんど同じ性質を示す。

ガラスを作る立場にたてば、この無孔化処理で目的を達した訳であるが、もう少し高い温度まで加熱するとガラスの結晶化が起こる。析出する結晶は溶融ガラスの場合と同様、準安定相である場合が多い。結晶相を適当に制御することで結晶化ガラスとして応用を図ることもできる。そこで以下では、利用できる材料という立場から、多孔質

ガラス、無孔化ガラスおよび結晶化ガラスについて、その生成過程と性能制御について述べる。

〔多孔質ガラス〕

溶融法による多孔質ガラスの製造は、ガラスの分相現象を利用しておらず、コーニング社製#7930多孔質ガラスがよく知られている。これはほぼ SiO_2 に近い組成であり、耐熱、耐酸性に優れているが、アルカリ性溶液に対する耐久性はない。その他、 SiO_2 組成とは異なった組成の多孔質ガラスもいくつか作られているが、ガラスの分相現象を利用する限り、ガラス組成にある程度の制限があるし、また、その製造には多くの精密な制御を必要としている。

一方、ゾル-ゲル法は、その名前が示すように、ゲルそのものは多孔質であるが、利用する環境に耐えるだけの性能があれば材料として利用できよう。 ZrO_2 は、耐熱・耐酸性の他にも、特に耐アルカリ性に優れているので興味がある。

$3\text{ZrO}\cdot7\text{SiO}_2$ 組成のものについて、それぞれの温度で加熱して得た多孔体の性質を表1に示す。温度の上昇とともに脱水縮合反応が起こるので、比表面積や細孔容積は徐々に小さくなっていく。かさ比重や硬度は無孔化したガラスにくらべて低いが、これらの値は細孔の存在によるもので、骨格構造そのものの弱さを示すものではない。

図2に700°Cで加熱したものの細孔径分布を示す。細孔径が20~30 Åと非常に小さいものである。他の組成についてもその細孔特性は表2に示すように、組成の影響を受ける。

多孔質ガラスの耐アルカリ性を測定した。耐アルカリ性は2N-NaOH水溶液に浸し、その時の重量減少で評価した。図3は20°Cでの浸漬時間と侵食量との関係を示したものである。侵食量は

表1. それぞれの加熱温度で作った多孔体の特性

Temperature (°C)	Specific surface area (m ² /g)	Pore volume (cm ³ /g)	Porosity (%)	Vickers hardness (GPa)	Bulk density (g/cm ³)	Apparent density (g/cm ³)
300	392	0.240	42.7	1.10	1.78	3.10
500	350	0.195	38.3	1.15	1.96	3.18
700	286	0.188	36.1	1.65	1.92	3.01
800	250	0.158	33.4	1.79	2.12	3.18
900	119	0.072	18.3	2.59	2.55	3.12
950	0	0	0	6.75	3.17	3.17

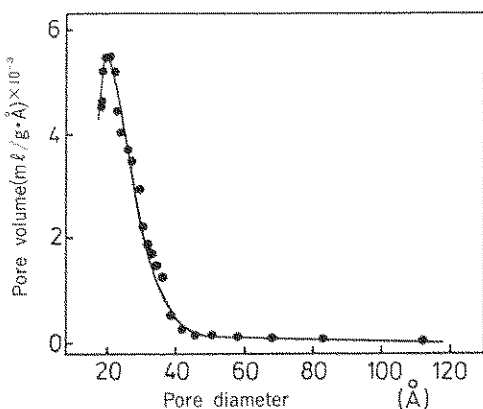


図2 700°Cで加熱した3 ZrO₂·7 SiO₂組成の細孔径分布

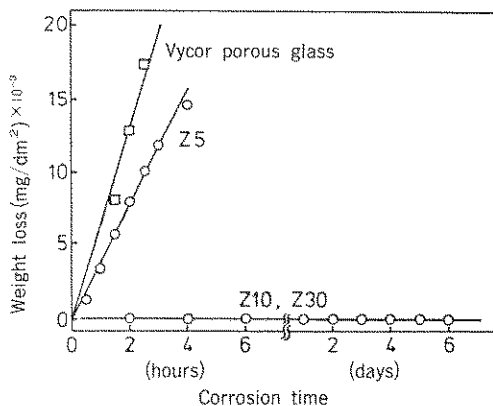


図3 ZrO₂-SiO₂系多孔体の耐アルカリ性

表2. ZrO₂-SiO₂系多孔体の特性

Sample	Temperature (°C)	Specific surface area (m ² /g)	Pore volume (cm ³ /g)	Pore diameter* (Å)
Z5	800	440	0.409	37
Z20	800	297	0.183	25
Z30	700	286	0.188	26
Z40	800	202	0.088	17
Z50	700	202	0.090	18
Vycor porous glass†		~200	~0.18	40

* calculated from the equation: 4(pore volume)/(specific surface area).

† Corning Glass Works, No. 7930

単位表面積に対する重量減少量 (mg/dm²) で表わしてある。SiO₂組成である#7930ガラスや5 ZrO₂·95 SiO₂組成のものは溶出速度が非常に早く、5 mm角程度の大きさの試料ではそれぞれ、5時間あるいは10時間でほぼ完全に溶解してしまい、アルカリに対する耐久性が全く認められなかつた。一方、10モル%以上のZrO₂を含んだガラスは、数日間浸漬してもほとんど重量減少が起こらず、予想されたような耐アルカリ性に優れた多孔質ガラスが得られていることがわかる。

次に多量のZrO₂を含有したガラスの耐アルカリ性に及ぼすZrO₂含有量の効果を調べるために、溶液温度を90°Cにして、重量減少量を測定した。侵食量は時間の増加とともに直線的に増加していく。侵食表面にはZr濃度の高い皮膜が形成されているのが観察された。ただ、この層の形成がそれ以後の侵食を止めるような強い保護層になっているようには思われない。侵食機構を正しく理解

するためには、更に多くの実験データが必要である。実験結果のうちで、侵食量が0.01 mg/dm²に達するのに要する浸食時間を求めた。それをZrO₂量に対してプロットしたのが図4である。ZrO₂量の増加とともに耐アルカリ性が急激に向上去していくのがわかる。

[無孔化ガラス]

多孔体は、850°C付近で急激な収縮を起こして無孔化する。この無孔化には粘性流動が支配的に起っていると考えられている。いくつかの組成のものについて無孔化する温度と、それより高い温度で加熱して作ったガラスの密度、屈折率と硬度の値を表3に示す。密度、屈折率ともZrO₂含有量の増加とともに大きくなっている。加成律がほぼ成立している。加成律の成立から、ガラス中のZr⁴⁺イオンの酸素配位数は7~8と考えられるが、酸素6配位とする報告もあり、これについては今後の研究にまたねばならない。

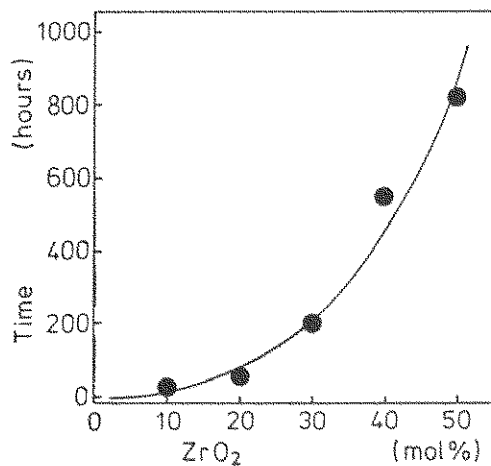


図4 $\text{ZrO}_2\text{-SiO}_2$ 系多孔体の耐アルカリ性

硬度も ZrO_2 量の増加とともに高くなっていく。 ZrO_2 を含有させることで、シリカガラスより硬度の高いガラスになることは興味深い。

〔結晶化ガラス〕

ガラスを高温で加熱すると結晶化するので結晶化ガラスとしての応用も考えられる。

ジルコニアは高強度、高靭性セラミックスとして広く利用されている酸化物であり、このようなジルコニアをガラス中に分散させたり析出させることができれば、ガラスに韌性をもたらすことができると期待されよう。

ガラスの結晶化温度は示差熱分析 (DTA) 計で測定できる。それによると、900°C 前後で結晶化による発熱現象がみられる。結晶化温度は ZrO_2 の含有量が増加するとともに少しづつ低温側へ移行していく。

図5は結晶化温度の付近で加熱した試料のX線回折図である。低温では非晶質特有のハローパ

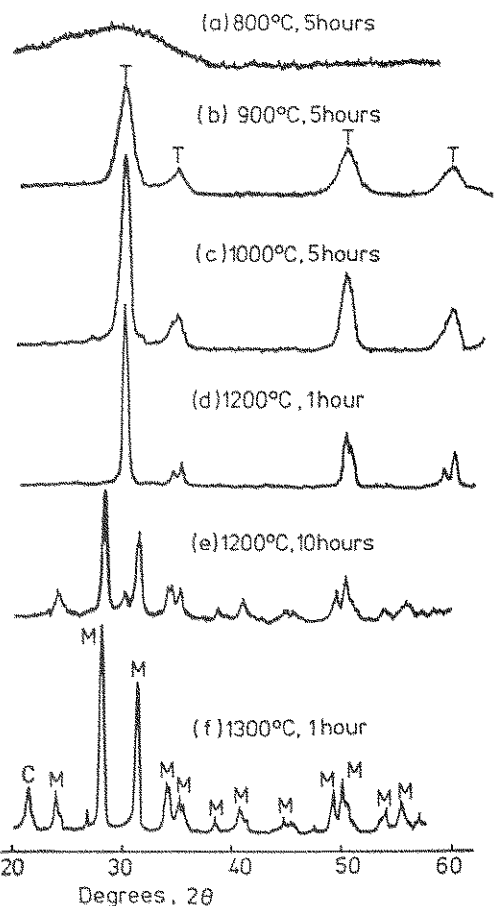


図5 $3\text{ZrO}_2\cdot 2\text{SiO}_2$ 結晶化ガラスのXRDパターン

ターんであり、900°C で析出した結晶は正方晶 (t -) ZrO_2 であった。 t - ZrO_2 は準安定相で、溶融法で作られるガラスの結晶化の際にみられるものと同じである。後で述べるようにこの t - ZrO_2 結晶の析出は、高靭性化に重要な役割をする。

900°C 付近での t - ZrO_2 の析出を DTA 測定で

表3. $\text{ZrO}_2\text{-SiO}_2$ 系無孔化ガラスの特性

Composition	Heating		Density (g/cm ³)	Referactive index(n _b)	Hardness (GPa)
	temperature	time(h)			
5 $\text{ZrO}_2\cdot 95\text{SiO}_2$	1000°C	1	2.269	1.500	6.43
10 $\text{ZrO}_2\cdot 90\text{SiO}_2$	950	1	2.445	1.525	6.50
20 $\text{ZrO}_2\cdot 80\text{SiO}_2$	950	1	2.982	1.617	6.60
30 $\text{ZrO}_2\cdot 70\text{SiO}_2$	950	1	3.170	1.685	6.75
40 $\text{ZrO}_2\cdot 60\text{SiO}_2$	900	1	3.403	1.705	6.86
50 $\text{ZrO}_2\cdot 50\text{SiO}_2$	900	1	3.961	1.865	7.26

詳しく検討したところ、結晶核はガラス中に均一に形成され、三次元的に成長していくこともわかった。結晶は温度の上昇とともに成長していく。図6に一例として、 $3\text{ZrO}_2 \cdot 2\text{SiO}_2$ 組成のものを1000~1200°Cで加熱した時の $t\text{-ZrO}_2$ 結晶径と時間の関係を示す。結晶径はX線回折パターンのピーク幅に対し、Scherrerの式から求めた値で示してある。一般には結晶子径は結晶の大きさに等しいと限らないが、図7の結晶化ガラスの透過型電子顕微鏡写真と比較したところ、両者の大きさはほぼ等しく、結晶子径で表わしていてもよいようである。またこのような温度域では、析出する結晶の体積分率は飽和に達しているので、結晶の成長は、小さな結晶が消滅し、大きな粒子が益々大きくなる、いわゆる Ostward reopening 則に従うと考えられる。また、図6の成長速度の検討から、結晶は時間の $1/3$ 乗に比例して成長していく

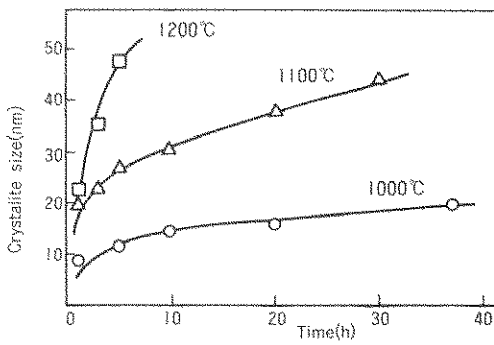


図6 $t\text{-ZrO}_2$ の結晶成長

こともわかった。

図5で、1300°Cで加熱(1200°Cでも長時間)した試料での結晶相は全て单斜晶($m\text{-ZrO}_2$)であった。 $m\text{-ZrO}_2$ は結晶化ガラスの韌性の低下につながる。 $m\text{-ZrO}_2$ の出現は、高温での熱処理で大きく成長した $t\text{-ZrO}_2$ が試料の冷却時に低温で安定な单斜晶に転移することによると予想された、そ

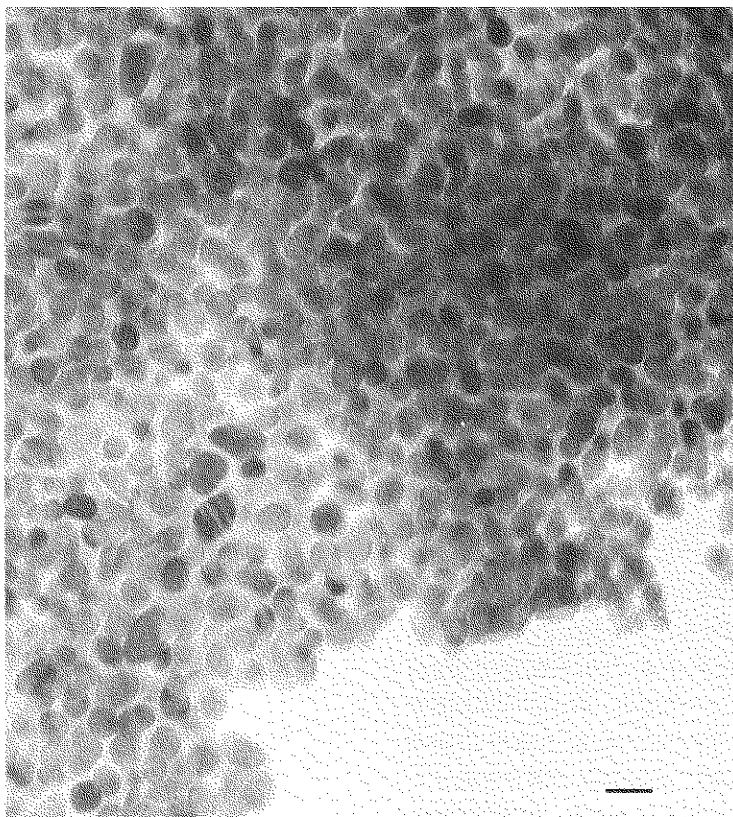


図7 結晶化ガラスのTEM写真
黒線の長さは100nm

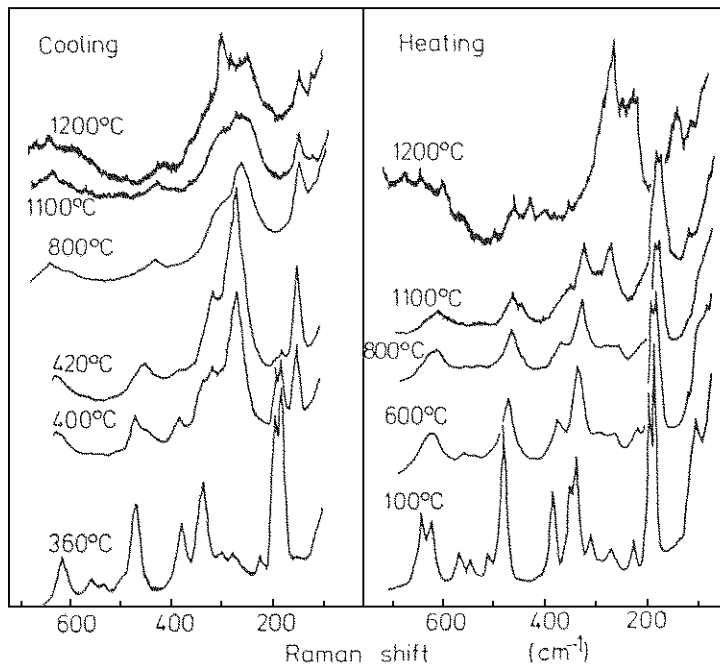


図8 冷却及び加熱時のラマンスペクトル

れを検討するために、ラマン分光器に炉を設置し、温度を変えながら、ラマンスペクトルを測定した。

図8は1200°Cで10時間加熱した試料を冷却しながら測定したもので、420°Cより高い温度でのスペクトルは $t\text{-ZrO}_2$ に帰属されるものであった。そして360°Cでのそれは $m\text{-ZrO}_2$ に帰属されているスペクトルであった。このことから400°C付近で $t\rightarrow m\text{-ZrO}_2$ 結晶転移が起ったと考えられる。そして一旦、 $m\text{-ZrO}_2$ に転移したものを加熱していくと、 $m\text{-ZrO}_2$ から $t\text{-ZrO}_2$ への転移は400°C付近ではなく、1200°C付近で起っている。

ラマンスペクトルのうち、145及び260cm⁻¹と180及び190cm⁻¹のラマン線はそれぞれ $t\text{-ZrO}_2$ と $m\text{-ZrO}_2$ に特有なものであるので、それらのピーク強度比から t -及び $m\text{-ZrO}_2$ それぞれの存在割合を見積もることができる。 $3\text{ZrO}_2\cdot 2\text{SiO}_2$ 組成のものについて、1200°Cで4, 5, 8及び10時間加熱した後の冷却時での $t\text{-ZrO}_2$ の割合を図9に示す。 $t\rightarrow m\text{-ZrO}_2$ 転移はかなり狭い温度範囲内で完了し、その転移温度も加熱時間が長くなる程、高温側へ移行している。 $t\text{-ZrO}_2$ の割合が0.5に

なる温度をその転移温度とし、図8の中に示してある。一方、 $m\text{-ZrO}_2$ の $t\text{-ZrO}_2$ への転移は1100~1200°Cで起こり、加熱時間の影響を受けないようである(図には繁雑をさけるために10時間加熱したもののみを示している)。

ジルコニアセラミックスにおける $t\rightarrow m\text{-ZrO}_2$ 転移については多くの報告がある。転移は結晶化学的な転移エネルギーの他に、結晶の大きさやマトリックスの存在に基づく界面エネルギーや歪みエネルギーの効果も大きいとされている。本系の $\text{ZrO}_2\text{-SiO}_2$ 系結晶化ガラスにおける ZrO_2 の $t\rightarrow$

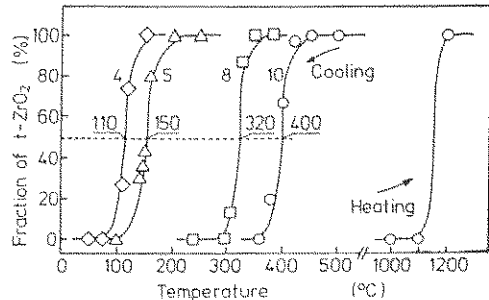


図9 ラマンスペクトルから求めた、 $t\text{-ZrO}_2$ 結晶の存在割合

$m\text{-ZrO}_2$ 転移温度は、結晶径やガラス組成すなわちシリカマトリックスの影響を強く受けているようと思われる。析出する $t\text{-ZrO}_2$ 結晶の大きさは数十 nm と非常に小さく、また熱膨張係数の低い非晶質のシリカマトリックスとの間の歪みエネルギーの効果も見のがせない。

Garvie らによると、 $t\rightarrow m\text{-ZrO}_2$ 転移にともなう自由エネルギーの変化 ($\Delta G_{t\rightarrow m}$) は次式のように表わされる。

$$\Delta G_{t\rightarrow m} = \frac{\pi}{6} D^3 \Delta F_{ch} + \frac{\pi}{2} D^2 \Sigma \Delta r + \frac{\pi}{6} D^3 \Sigma \Delta \varepsilon$$

ここで D は結晶径である。 ΔF_{ch} は化学的なエネルギーで、拘束されていない自由粒子の転移温度を T_b (1448 K)、転移熱を q (2.82 J/m²) とすれば $\Delta F_{ch} = -q(1 - T_m/T_b)$ と書ける。また $\Sigma \Delta r$ は粒子界面や双晶界面に生じる界面エネルギーで、 $\Sigma \Delta \varepsilon$ は転移にともなう体積変化やマトリックスとの間にに入る応力による歪みエネルギーである。転移時には $\Delta G_{t\rightarrow m} = 0$ であるので上式は

$$T_m/T_b = \frac{6 \Sigma \Delta r}{q} \cdot \frac{1}{D} + \frac{q - \Sigma \Delta \varepsilon}{q}$$

となり、転移温度と結晶径の逆数との間に直線関係がある。

$ZrO_2\text{-SiO}_2$ 系結晶化ガラスについても上式の関係がみられるかどうかを調べた。図 10 は ZrO_2 含有量の異なる 3 つの組成について、 T_m/T_b と D との関係を示したものである。両者の間によい直線関係がみられ、Garvie の式を用いるのが妥当であると考えられる。転移温度は結晶径だけで決まるのではなく、組成すなわち、シリカマトリッ

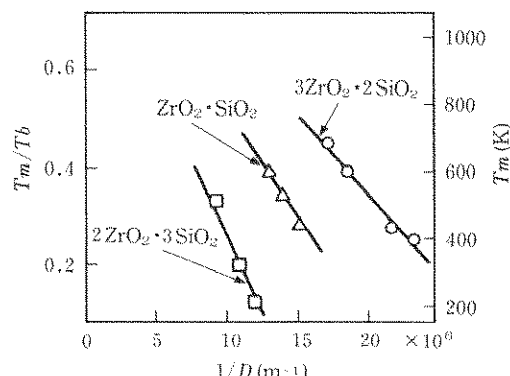


図10 $t\rightarrow m\text{-ZrO}_2$ 転移温度の結晶径依存性

クスの影響を強く受け、 SiO_2 量の増加とともに転移の起こる結晶径は大きくなっていく。

結晶化ガラスの破壊靭性 (K_{IC}) の評価は硬度計を用いて、試料表面に圧痕を打ち込み、圧痕の周りに発生するクラックの大きさを測定する方法によった。

図 11 に $3ZrO_2\cdot 2SiO_2$ 組成を 1000~1200°C で加熱して結晶化させた時の K_{IC} と加熱時間との関係を示す。加熱時間の増加とともに K_{IC} が高く、また高温度ほど短時間のうちに K_{IC} が高くなっている。しかし、1100 及び 1200°C での加熱では K_{IC} がほぼ 5 MN/m^{1.5} に達した後、長時間加熱しても、逆に低下するだけであった。 $t\text{-ZrO}_2$ の析出と成長が靭性の向上に寄与していると考えられる。

$t\text{-ZrO}_2$ 系セラミックスの高靭性化の機構としては応力の加わったクラック先端での $t\rightarrow m\text{-ZrO}_2$ 転移による応力緩和であるとされており、本系の試料についても、試料の破断面で $m\text{-ZrO}_2$ 転移が認められたことにより $t\rightarrow m\text{-ZrO}_2$ 転移によってクラック伝播が阻止されるものと考えられる。

図 12 に ZrO_2 含有量の異なる結晶化ガラスの破壊靭性値の結晶径依存性を示す。横軸は結晶径の 3 乗でプロットしてある。いずれの組成とも K_{IC} は結晶径の 3 乗に比例して高くなり、また ZrO_2 量の多い組成ほど小さい結晶径でも高い K_{IC} を示す。

高温で長時間加熱すれば、 $t\text{-ZrO}_2$ はより大きくなるが、熱処理中に单斜晶に転移するので、結

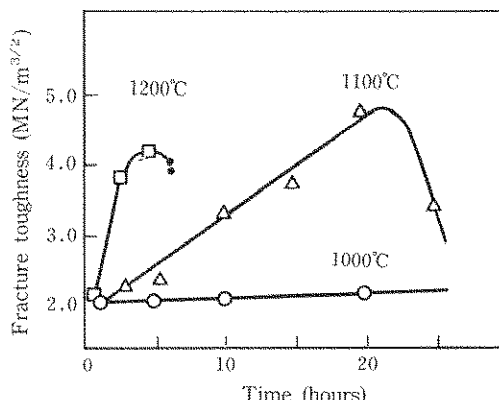


図11 K_{IC} と加熱時間との関係

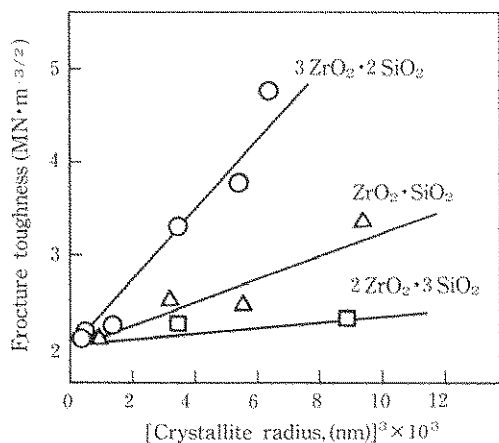


図12 組成の異なる結晶化ガラスの破壊靭性値

果的に K_{Ic} の低いものになってしまふ。図 10 と図 12 の結果から $\text{ZrO}_2\text{-SiO}_2$ 系結晶化ガラスの K_{Ic} の最大値を見積もることができ、いづれの組

成とも、ほぼ $5 \text{ MN/m}^{1.5}$ の値であった。この値は元のガラスの 3 倍程度高いものである。

これらの結晶化ガラスの強度を 3 点曲げ法で測定したところ、300-450 MPa の値であった。全ての試料について未だ測定を終了していないので、断定できないが強度の高い結晶化ガラスになっていると期待できる。

強度や破壊靭性値をより高いものとするために、ガラス組成の探索や作製条件の最適化など検討すべき事項も未だ多く残されているが、多いに可能性があると考えている。

〔著者紹介〕



野上 正行 (のがみ まさゆき)

昭和 48 年 名工大修士課程修了、昭和 48 年 セントラル硝子、昭和 49 年 大工試、昭和 62 年 愛工大